

Exercices : 10 - Réseaux

— Solutions —

A. Maximums Principaux

1. Réalisation d'un réseau

Réponses : $I = \frac{I_0}{2} [1 + \cos(\frac{2\pi}{\lambda} 2 \sin \frac{\alpha}{2} y)]$; $i = \frac{\lambda}{2 \sin(\alpha/2)}$; $36, 9^\circ$.

2. Ordres présents pour un réseau par transmission

Réponses : $\sin \theta = 0, 4p$ $\theta = 0^\circ \pm 24^\circ \pm 53^\circ$, $\sin \theta = 0, 48p$ $0^\circ, \pm 29^\circ \pm 74^\circ$, $\Delta\theta_0 = 0^\circ$, $\Delta\theta = 5^\circ$, $\Delta\theta = 21^\circ$, $\sin \theta = 0, 5+0, 4p-44, 4^\circ-17, 5^\circ 5, 7^\circ 30^\circ 64, 2^\circ$ et $\sin \theta = 0, 5+0, 48p-70^\circ-27^\circ 1^\circ 30^\circ 79^\circ$, $\sin \theta = 0, 5+0, 404p-45, 4^\circ-17, 9^\circ 5, 5^\circ 30^\circ 64, 7^\circ$ $\Delta\theta_p$ maximal pour les ordres $|p|$ les plus grands, ici $p = -3$ où $\Delta\theta_{p=-3} = 1, 0^\circ$.

3. Ordre manquant

Réponses : $\mathcal{D}(i) = \text{sinc}^2 \frac{\pi \ell \sin i}{\lambda}$ est une fonction lente qui sert d'enveloppe à la fonction d'interférences; $\mathcal{I}(i) = \frac{\sin^2 N \frac{\pi a \sin i}{\lambda}}{\sin^2 \frac{\pi a \sin i}{\lambda}}$, $a = 5\ell$.

4. Réseau sous incidence normale

Réponses : On écrit la formule fondamentale des réseaux, sachant que l'on est en incidence normale. Pour la raie verte, dans l'ordre 1, on a $\sin i_{\text{vert}} = \frac{\lambda_{\text{vert}}}{a}$. Pour la raie rouge, dans l'ordre 2, on a $\sin i_{\text{rouge}} = 2 \frac{\lambda_{\text{rouge}}}{a}$. Alors, $\lambda_{\text{rouge}} = \frac{1}{2} \frac{\sin i_{\text{rouge}}}{\sin i_{\text{vert}}} \lambda_{\text{vert}} = 762, 9 \text{ nm}$. De même, on tire $\lambda_{\text{bleu}} = 479, 8 \text{ nm}$. La précision sur les mesures des angles autoriserait une bonne précision sur λ s'il n'y avait pas une autre cause d'incertitude. On peut penser au rôle du nombre fini N de traits éclairés qui provoque un élargissement des ordres d'environ $2\pi/N$ en phase mais ce n'est pas la cause la plus importante d'incertitude avec les réseaux assez performants et une évaluation chiffrée peut nous en convaincre. Par exemple, à l'ordre 1 et aux petits angles (pour plus rapidement se fixer les idées), on aurait une incertitude angulaire relative (en s'appuyant sur $\varphi \simeq \frac{2\pi}{\lambda} a i$ $\frac{\Delta i}{i} \simeq \frac{\Delta \varphi}{\varphi} = \frac{2\pi/N}{2\pi} = \frac{1}{N} \simeq 0, 05\%$) pour un réseau médiocre de 100 traits/mm éclairé sur une largeur de 2 cm. Cela reste assez précis (précision d'environ une moitié de minute d'arc si l'on revient aux angles)! En pratique, on utilise des réseaux avec N plus élevé! Par exemple, on peut adopter un réseau de 1000 traits/mm et l'éclairer sur une largeur de 5 cm et on déduit une précision relative angulaire de $2 \cdot 10^{-3}\%$. La principale cause d'incertitude réside surtout dans l'hypothèse de l'incidence normale. On ne sait pas bien repérer la normale d'un réseau. On pourrait penser à utiliser la réflexion dans l'ordre 0 pour repérer cette direction avec une lunette autocollimatrice. On voit sur la figure 1 que lorsque le réticule lumineux se superpose avec son image par réflexion dans l'ordre 0, le plan du réseau est normal à l'axe de la lunette. Cependant, il n'est pas certain que la réflexion dans l'ordre 0 soit suffisamment intense pour permettre un tel repérage!

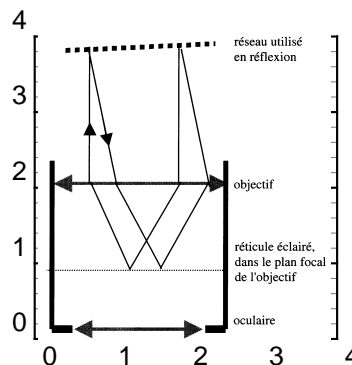


FIGURE 1 – Réseau par réflexion et collimateur

Pour faire des mesures précises de longueur d'onde, on peut utiliser plusieurs méthodes. La plus connue consiste à utiliser le minimum de déviation $D_{p,\text{min}}$ dans l'ordre p , tel que $2 \sin \frac{D_{p,\text{min}}}{2} = p \frac{\lambda}{a}$. On peut démontrer cette formule comme suit. La déviation de l'ordre p par le réseau est $D_p = \theta_p - \theta_0$. Celle-ci est extrémale lorsque $\frac{dD_p}{d\theta_0} = \frac{d\theta_p}{d\theta_0} - 1 = 0$. Or, la relation fondamentale des réseaux différenciée donne $\cos \theta_p d\theta_p - \cos \theta_0 d\theta_0 = 0$ donc $\frac{dD_p}{d\theta_0} = \frac{\cos \theta_0}{\cos \theta_p} - 1 = 0$. Ainsi, la déviation est extrémale lorsque $\theta_p = \pm \theta_0$. Le cas avec le signe + n'est possible que pour l'ordre 0 pour lequel la déviation est nulle (on le savait déjà) et bien minimale. Ce n'est pas ce qui nous intéresse. On retient donc $\theta_p = -\theta_0$ qui correspond à une déviation extrémale (avec le réseau bissecteur des rayons incidents et diffractés dans l'ordre p !) $D_{p,\text{extr.}} = 2\theta_p$ et la formule fondamentale des réseaux permet de conclure aisément sur la formule proposée mais il reste à prouver que l'on a bien un minimum de déviation. Ceci

est en fait évident puisque la déviation est supérieure lorsque $\theta_0 = 0$. En appliquant la méthode du minimum de déviation développée, il vient donc $\lambda_{\text{rouge}} = \lambda_{\text{vert}} \frac{\sin \frac{D_{p,\text{min,rouge}}}{2}}{\sin \frac{D_{p,\text{min,vert}}}{2}}$ sans nécessiter de connaître l'angle d'incidence.

5. Spectre de la lampe à vapeur d'hydrogène

Réponses : Diffraction, interférences, $\sin \theta_k = \sin i + kn\lambda$, $D_k = \theta_k - i$, $\theta_k = \pm i$ signes différents d'où $\theta_k = -i$, $D_{km} = 2\theta_k = -2i$, $\theta_1 = 8,5^\circ$, $\lambda_0 = \frac{2}{n} \sin \theta_1$, $\Delta\lambda_0 = \frac{2}{n} \cos \theta_1 \Delta\theta_1$, $\lambda_0 = 608,5 \pm 1,2 \text{ nm}$, $i_0 = -19,2^\circ$, 6 ordres complets $\{-2, -1, 1, 2, 3, 4\}$, $x_\beta = -f' \tan \beta_1 = -3,4 \text{ cm}$, $x_\gamma = -4,5 \text{ cm}$, $x_\delta = -5,0 \text{ cm}$.

6. Réseau par réflexion

Réponses : $\sin \theta + \sin i = pn\lambda$, $2 \sin \theta = pn\lambda$, $\theta = 0^\circ, 8,3^\circ, 16,8^\circ, 25,6^\circ, 35,2^\circ$ et $46,2^\circ$, $x_\lambda = 14,58 \text{ cm}$, $x_{\lambda'} = 14,63 \text{ cm}$, $\Delta x = 0,5 \text{ mm}$.

7. Position des raies dans la figure de diffraction

Réponses : $\sin \theta = 0,5 + 0,2356p$, ordres de 2 à -6 $\theta = 76,2^\circ, 47,4^\circ, 30^\circ, 15,3^\circ, 1,7^\circ, -11,9^\circ, -26,3^\circ, -42,7^\circ, -66,0^\circ$, $\frac{\Delta\lambda}{\lambda} = pN$, $N = n\ell$, $\ell = 1,2 \text{ mm}$, $\Delta\theta = 0,1^\circ$.

8. Source à distance finie

Réponses : $\ell = Na = 2 \text{ cm}$, $a \sin \theta = p\lambda$. Puisque l'incidence est normale, il y a symétrie des ordres par rapport à la normale. Les ordres observables sont $p = 0$, $p = \pm 1$, $p = \pm 2$ et $p = \pm 3$ avec les angles $0^\circ, \pm 15,1^\circ, \pm 31,3^\circ$ et $\pm 51,3^\circ$. Il y a une différence de marche supplémentaire avant le réseau $\delta_{\text{avant}} = \sqrt{D^2 + n^2 a^2} - D$ pour la fente de rang n à partir de celle située en face de la source. En effectuant un développement limité, on arrive à $\delta_{\text{avant}} \simeq \frac{n^2 a^2}{2D}$. Il n'y aura pas de changement si $\delta_{\text{avant}} = p'\lambda$ avec $p' \in \mathbb{N}$. On a donc $D = \frac{n^2 a^2}{2p'\lambda}$, ceci doit être vrai $\forall n$. Si on pose la condition pour $n = 1$ à savoir $D = \frac{a^2}{2p'\lambda}$ alors on aura toujours δ_{avant} multiple entier de la longueur d'onde puisque n^2 est toujours un entier. La plus grande valeur de D est obtenue pour $p' = 1$ à savoir $D = \frac{a^2}{2\lambda} = 3,8 \mu\text{m}$. Cette valeur est très faible et ne respecte pas la condition $D \gg \ell$. On peut donc dire que la présence de la source à distance finie modifiera nécessairement la figure de diffraction fournie par le réseau.

B. Applications du réseau

9. Mesure de la vitesse du son dans l'eau

Réponses : Superposition d'ondes progressives se propageant en sens contraire, $a = \frac{\Lambda}{2}$ où $\Lambda = \frac{c}{\nu}$ est la longueur d'onde, $a \sin \theta = p\lambda$, $x = p\frac{\lambda f}{a}$, $\Delta x = \frac{\lambda f}{a}$, $c = \frac{2\lambda f \nu}{\Delta x} = 1508 \text{ m} \cdot \text{s}^{-1}$ supérieure à $340 \text{ m} \cdot \text{s}^{-1}$ dans l'air logique, $s = K s_0 \exp j\omega t \int_{-d/2}^{d/2} (1 + j\eta \cos(2\pi \frac{x}{a})) \exp j\frac{2\pi x \sin \theta}{\lambda} dx$, maxima en $x = 0$ et en $x = \pm \frac{\lambda f}{a}$, on observe 3 ordres $I = I_0 \left[\text{sinc}^2 \frac{\pi dx}{\lambda f} + \frac{\eta^2}{4} \left(\text{sinc} \pi d \left(\frac{1}{a} + \frac{x}{\lambda f} \right) + \text{sinc} \pi d \left(-\frac{1}{a} + \frac{x}{\lambda f} \right) \right)^2 \right]$.

10. Pouvoir de résolution d'un réseau

Réponses : $E = E_0 \frac{\sin^2 \frac{N\pi a \sin \theta}{\lambda}}{\sin^2 \frac{\pi a \sin \theta}{\lambda}}$ avec $\theta - i = \frac{x}{f}$, $\sin \theta = 0,2454p$ $0^\circ, 14,2^\circ, 29,4^\circ$ ($p = 2$) $47,4^\circ, 79,0^\circ$, l'ordre 2 se situe à $0,6^\circ$ de l'axe optique de la lentille, $x = 0,52 \text{ cm}$, $\sin \theta'_k = (k + \frac{1}{N})\frac{\lambda}{a}$, $\sin \theta_k = k\frac{\lambda}{a}$, $\theta'_k = \theta_k + \epsilon$ avec $\epsilon \ll \theta_k$, $\epsilon = \frac{\lambda}{Na \cos \theta_k}$, $\Delta x_{1/2} = \frac{\lambda f a}{\ell \sqrt{a^2 - k^2 \lambda^2}}$, $\ell \simeq \frac{a\lambda}{2\delta\lambda} = 1,2 \text{ mm}$.

11. Spectroscopie à réseau

Réponses : Ordre ; $-\frac{1}{N\lambda_{\text{bleu}}} \leq p \leq \frac{1}{N\lambda_{\text{bleu}}}$; $i = -i_0$, $D = 2i = -2i_0$, $\sin i = p\frac{N\lambda}{2}$; $\Delta\lambda = \frac{\lambda}{N_{\text{totg}}} = 31 \text{ pm}$; transparence du réseau, diffraction.

12. Réseau de Michelson

Réponses : Réflexion en $\theta = 0$, maximum d'interférences si $2e = p\lambda$; $p = 303,03$ quasiment le cas ; amplitude diffractée en $\text{sinc} \frac{\pi a(\sin i - \sin \theta)}{\lambda}$; différence de marche $\delta = a(\sin i - \sin \theta) + e(\cos i + \cos \theta)$, amplitude des interférences en $\frac{\sin \frac{N\pi\delta}{\lambda}}{\sin \frac{\pi\delta}{\lambda}}$; maximum de diffraction si $i = \theta$ alors $\delta = 2e \cos \theta$, maximum d'interférences si $2e \cos \theta = p\lambda$ avec $p \in \mathbb{N}$, $\frac{\lambda}{\Delta\lambda} = N\frac{2e}{\lambda} \simeq 6060$.

C. Interféromètre de Fabry et Perot

13. Éclairement transmis par l'interféromètre de Fabry et Perot

Réponses : $A_1 = \tau^2 A_0$, $A_2 = \tau^2 \rho^2 A_0$, $A_p = \tau^2 \rho^{2(p-1)} A_0$, $\Phi = 2kLn_0$, maximal si $\Phi \equiv 0[2\pi]$, $A_{tr,max} = A_0 \tau^2 (1 + \rho^2 + \rho^4 + \rho^6 + \dots) = A_0 \frac{\tau^2}{1-\rho^2}$ d'où $A_{tr,max} = A_0$ et $I_{tr,max} = I_0$, minimal si $\Phi \equiv \pi[2\pi]$, $A_{tr,min} = \tau^2 A_0 (1 - \rho^2 + \rho^4 - \rho^6 + \dots) = \frac{\tau^2}{1+\rho^2} A_0$ d'où $I_{tr,min} = \left(\frac{1-\rho^2}{1+\rho^2}\right)^2 I_0$ ou encore $I_{tr,min} = \left(\frac{1-R}{1+R}\right)^2$, $V = \frac{2\rho^2}{1+\rho^4}$, plus $\rho^2 \rightarrow 1$ élevé plus $V \rightarrow 1$ plus il y a d'écart entre les maxima et les minima $I_{tr,min} \rightarrow 0$ et on voit bien les interférences, $T = 1 - \rho^2 = 1 - R$, $I_{tr} = I_0 \frac{(1-R)^2}{1+R^2-2R \cos \Phi}$, si $\Phi \equiv 0[2\pi]$ $I_{tr} = I_0$ et si $\Phi \equiv \pi[2\pi]$ $I_{tr} = I_0 \left(\frac{1-R}{1+R}\right)$, $\Theta = \frac{(1-R)^2}{1+R^2-2R \cos \Phi}$.

14. Signal optique dans l'interféromètre de Fabry et Perot

Réponses : Le terme $\exp(-jn_0k(x-L))$ provient de l'onde allant dans le sens x croissant qui s'arrête en x et ne va pas jusqu'en L , le terme $\rho \exp(jn_0k(x-L))$ représente l'onde réfléchie qui est allée de L vers x et qui n'est pas comptée dans $\underline{S}_{tr}(L, t)$, $\tau^2 = 1 - \rho^2 \simeq 2\varepsilon$, $I_{lam} = \frac{I_0 \Theta}{2\varepsilon} (1 + \rho^2 + 2\rho \cos \psi)$ où $\psi = n_0k(x-L)$, avec $\rho^2 \simeq 1$ et $\rho \simeq -1$ on a $I_{lam} = \frac{2I_0 \Theta}{\varepsilon} \sin^2(n_0k(x-L))$, les représentations sur la figure 2.

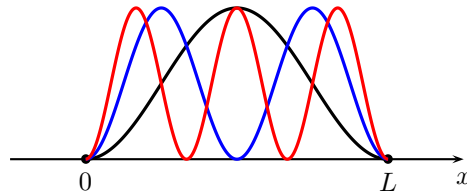


FIGURE 2 – Signal optique dans la lame